

# مطالعه تجربی شکل دهنده تدریجی چند نقطه‌یی قطعات مخروطی

صادق فرجی\* (دانشجوی کارشناسی ارشد)

پاسورستمیان (دانشیار)

علی اصغر شهسی سربند (استادیار)

دانشکده هنری مهندسی مکانیک، دانشگاه آزاد اسلامی واحد ساری

گسترش روش‌های نمونه‌سازی سریع در سال‌های اخیر بسیار چشمگیر بوده است یکی از این روش‌ها، فرایند شکل دهنده تدریجی است. در این پژوهش، فرایند شکل دهنده تدریجی چند نقطه‌یی، توسط سه ماتریس استوانه‌یی با تک، دو و سه پله مورد بررسی قرار گرفته است. در همین راستا، نزخ پیشروی و گام نفوذ ابزار برای شکل دهنده نمونه‌های آلومینیومی در سه سطح بررسی شدند. در ادامه، تأثیر پامترهای ورودی بر ارتقای حدی نمونه‌های شکل گرفته، توزیع ضخامت، زبری سطحی و دقت هندسی نمونه‌های برش خورده طولی مورد بررسی قرار گرفت. براساس نتایج حاصل، با بهره‌گیری از ماتریس‌های چند نقطه‌یی، علی‌رغم افزایش دقت هندسی نهایی، اصطکاک نسبت به ماتریس مخروطی یکپاچه تقلیل یافت. با بهره‌گیری ماتریس دو پله، با افزایش شکل پذیری ورق، قطعات عمیق‌تری شکل گرفت، به طوری که ارتقای حدی میانگین را به میزان ۱۲٪ بهبود بخشید. از جنبه دقت هندسی نیز طرح ماتریس با سه پله، بالاترین دقت هندسی و کمترین انحراف را نسبت به مسیر برنامه‌ریزی شده ایجاد کرد.

sadeghbzaki@gmail.com  
yasser.rostamiyan@iausai.ac.ir  
ali.shamsisarband@iausai.ac.ir

واژگان کلیدی: شکل دهنده تدریجی، ماتریس پشتیبان، انحراف هندسه، توزیع ضخامت، زبری سطحی.

## ۱. مقدمه

پیچیده‌یی نیاز ندارد.<sup>[۱]</sup> فرایند شکل دهنده تدریجی از نقطه نظر تماش ابزار به دو گروه کلی نک نقطه‌یی (بدون پشتیبان) و دو نقطه‌یی (با پشتیبان) دسته‌بندی می‌شود. فرایند شکل دهنده تدریجی دو نقطه‌یی علی‌رغم پیچیدگی بیشتر، به دلیل بهره‌گیری از ماتریس پشتیبان، دارای دقت و مراقبی بیشتری است. طی سال‌های اخیر، پژوهش‌های متعددی بر روی این فرایند انجام شده است. میرنیا و ملائی، شکل دهنده تدریجی تک نقطه چند مرحله‌یی را برای یک مخروط ناقص آلومینیومی بررسی کردند.<sup>[۲]</sup> آن‌ها با ارائه یک استراتژی تغییر شکل دو مرحله‌یی جدید و بر اساس یک الگوریتم مناسب، نشان دادند که می‌توان نازک‌شدگی و زمان انجام فرایند را بهبود بخشید. همچنین، با استفاده از استراتژی طراحی شده توانستند برآمدگی کف ظرف را که یکی از محدودیت‌های این تکنیک است، کمینه نمایند. روحی و همکاران، به مطالعه تجربی و عددی فرایند شکل دهنده تدریجی تک نقطه‌یی گرم با گرمادهی همگن به ورق به همراه گرمایش ابزار پرداختند. نتایج بدست آمده نشان داد که با افزایش دما، شکل پذیری ورق افزایش خواهد داشت.<sup>[۳]</sup> آن‌ها مشاهده کردند که افزایش نزخ پیشروی، حد شکل دهنده را به مقدار کمی کاهش می‌دهد. این

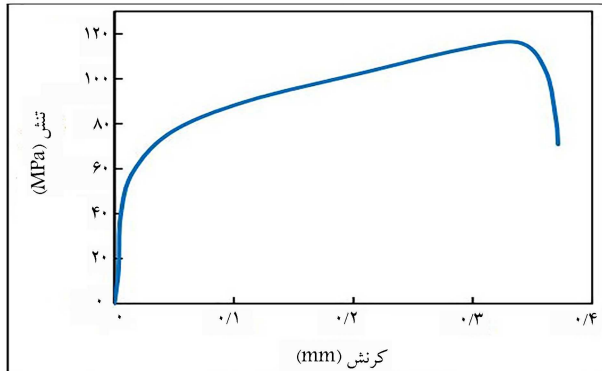
در دو دهه اخیر، فرایند شکل دهنده تدریجی در حوزه نمونه سازی‌های صنعتی مورد توجه و بیزه‌بی قرار گرفته است. این فرایند، با ماهیت نمونه‌سازی سریع در ساخت محصولات ورقی مورد استفاده قرار می‌گیرد. امروزه استفاده از روش‌های نمونه‌سازی سریع<sup>[۴]</sup> در حال گسترش می‌باشد.<sup>[۵]</sup> در دهه‌های اخیر، فرایند شکل دهنده تدریجی توانسته در نمونه‌سازی سریع هندسه‌های فلزی پیچیده، ظرفیت بالایی را از جنبه بهره‌وری اقتصادی از خود نشان دهد.<sup>[۶]</sup>

ضرورت توسعه این فرایند، به منظور حصول اطمینان از انطباق دقیق قطعات برای تولید محصولی جدید، دریافت بازخورد آن در کوتاه‌ترین زمان ممکن و همچنین افزایش بهره‌وری اقتصادی در تولید غیرانبوه است. این انتظارات اغلب با بهره‌گیری روش‌های سنتی امکان‌پذیر نیست. فرایندهای شکل دهنده تدریجی نوین از ایده‌ی فنی لوازم ادوارد که در سال ۱۹۶۷ میلادی مطرح شد، نشات گرفته است.<sup>[۷]</sup> این فرایند به عنوان یکی از فناوری‌های شکل دهنده انعطاف‌پذیر<sup>[۸]</sup> به ابزار و تجهیزات نوین‌سده مستول

\* تاریخ: دریافت ۱۱/۰۵/۱۴۰۱، اصلاحیه ۱۶/۰۷/۱۴۰۱، پذیرش ۰۷/۰۸/۱۴۰۱.

استناد به این مقاله:

فرجی، صادق، رستمیان، یاسر، و شمسی سربند، علی اصغر، ۲۰۱۴. مطالعه تجربی شکل دهنده تدریجی چند نقطه‌یی قطعات مخروطی. مهندسی مکانیک شریف، ۲(۳۹)، صص. ۳۷-۴۴. DOI:10.24200/J40.2022.60611.1644



شکل ۱. نمودار تنش - کرنش ورق آلمینیوم  $105^{\circ}$ .



شکل ۲. مونتاژ ماتریس پشتیبان چند نقطه‌یی در حالت مونتاژی سه پله.



شکل ۳. نمونه برش خورده در راستای نورد چهت اندازه‌گیری توزیع ضخامت.

در آزمایش‌های انجام شده از ابزار استوانه‌یی سرکروی با قطری معادل  $10\text{ mm}$  و از جنس فولاد سردکار استفاده شده است. این ابزارها با استفاده از دستگاه تراش معمولی به طول  $15\text{ سانتی‌متر}$  ساخته شده و در برابر سایش مقاوم و استحکام مکانیکی بالایی دارند. همچنین از ماتریس‌هایی چند نقطه‌یی با هندسه استوانه‌یی تک، دو و سه پله به عنوان ماتریس‌های پشتیبان استفاده شده است. همان‌طور که در شکل ۲ نشان داده شده است، چهت تسهیل فرایند ساخت، ماتریس‌ها به صورت مجرزا طراحی و ساخته شده‌اند که با توجه به تعداد پله‌ها درهم مونتاژ شدند.

جهت مقایسه شکل‌پذیری نمونه‌ها از بینیشنه ارتفاع شکل گرفته در هر حالت تحت عنوان پارامتر ارتفاع حدی استفاده شد. به منظور مقایسه دقت هندسی، انحراف هندسی مقطع نمونه‌های برش خورده در راستای نورد ورق نسبت به مسیر برنامه‌ریزی شده ابزار توسط دستگاه پروفیل‌سنج نوری Baty R14 با دقت  $1\text{ mm}$  /  $0^{\circ}$  اندازه‌گیری گردید. همچنین جهت بررسی توزیع ضخامت قطعات شکل گرفته، ضخامت نمونه‌ها طبق شکل ۳ در مسیری مشخص از مرکز بلنک تا وجه جانبی هرم، در جهت نورد و در نموهای  $1\text{ mm}$  اندازه‌گیری شدند. مقادیر زیری قطعات برش خورده نیز

کاهش شکل‌پذیری در دمای بالا مشهودتر می‌باشد. بریمانی و همکاران، نمونه‌سازی سریع هندسه‌یی مشابه کانوپی‌های یکپارچه هواپیما را به کمک فرایند شکل‌دهی تدریجی ورق‌های شفاف پلی‌کربنات در مقیاس آزمایشگاهی توسط روش شکل‌دهی فرایندی تک نقطه بررسی کردند. براساس نتایج حاصل، با آزادسازی تنش‌های پسماند فرایندی حين حرارت‌دهی پساشکل‌دهی، برگشت فنری کاهش چشمگیری دارد.<sup>[۶]</sup> همچنین، انحراف هندسی در دو راستای عمقی و شعاعی کمتر از  $1\text{ mm}$  ایجاد شده که در محدوده مجاز پنجره فرایندی شکل‌دهی تدریجی تک نقطه بی قرار دارد. کومار و همکاران، تأثیر اصطکاک ابزار و زاویه مخروط بر زبری سطحی را در فرایند شکل‌دهی تدریجی مطالعه کردند.<sup>[۷]</sup> آن‌ها گزارش کردند که مقدار Ra با افزایش قطر ابزار کاهش یافته است. ترز پیسینسکی و همکاران، آخرین پیشرفت‌ها و چالش‌های شکست در شکل‌دهی تدریجی ورق‌های آلمینیومی را مورد مطالعه قرار دادند.<sup>[۸]</sup> آن‌ها طی بررسی پژوهش‌های تجربی و عددی پیشین، مسیرهای ممکن و پیش رو در این فرایند را شناسایی کردند.

طبق مطالعات مروری، اغلب فرایندهای شکل‌دهی دونقطه‌یی قطعات مخروطی به کمک ماتریس پشتیبان استوانه‌یی و مخروطی انجام شده است. در ماتریس استوانه‌یی یکپارچه به عملت چرخش کنترل نشده قطعه کار حول محور مخروط، انحراف از هندسه نهایی گزارش شده است. در ماتریس مخروطی، به این علت که ورق از دو سمت به طور پیوسته با ابزارهای صلب در تماس است، حد شکل‌پذیری ورق کاهش می‌یابد. در این مرجع، فرایند شکل‌دهی تدریجی دو نقطه‌یی قطعات مخروطی توسط ماتریس‌های استوانه‌یی دو و سه پله بررسی شده است. هدف اصلی مقاله حاضر، بهبود فرایند شکل‌دهی تدریجی دونقطه‌یی با مقید کردن بیشتر سطوح داخلی، کاهش احتمال چرخش کنترل نشده قطعه کار حول محور مخروط و کاهش اصطکاک تاماسی به کمک ماتریس چند نقطه‌یی است. جهت بررسی فرایندی پارامترهای ورودی گام عمومی و نزدیکی برای طرح ماتریس‌های ذکر شده مورد بررسی قرار می‌گیرند.

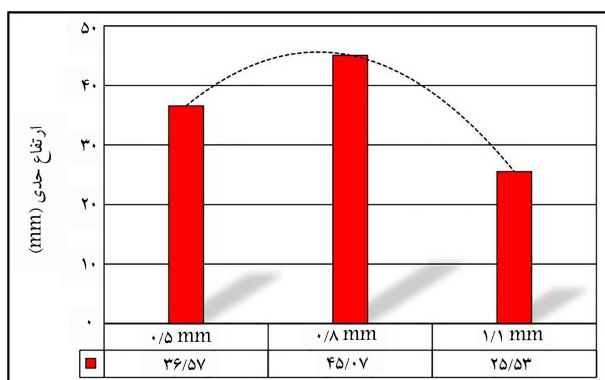
## ۲. مواد و روش‌ها

تمامی آزمایش‌های شکل‌دهی تدریجی دونقطه‌یی با استفاده از ورق‌های آلمینیومی سری  $105^{\circ}$  با درصد خلاوص حداقل  $99\%$  انجام شده است. این گرید برای مصارف با نیاز به استحکام متواضع و مقاومت به خوردگی بالا همچون ظروف صنایع غذایی و بازتابنده  $3\text{ لامپ}$ ، بسیار رایج است. از دیگر کاربردهای آن می‌توان به اشکال پیچیده نمایهای معماری ساخته شده از آلمینیوم که اغلب تیازی کم و هندسه شخصی‌سازی شده است، اشاره کرد. برخی از این نمایهای از جهت پیچیدگی و محرومیت محور با مخروط‌های کم عمق شکل می‌گیرند. رفتار مکانیکی ورق مورد استفاده با نمودار تنش - کرنش حقیقی حاصل از آزمایش کشش تک محوری طبق استاندارد ASTM-A370 در شکل ۱، نشان داده شده است.

غیر قابل عملیات حرارتی بودن ازویزگی‌های آلیاژهای سری  $1000^{\circ}$  است. این گرید دارای مقاومت خوبی در برابر خوردگی بوده و رسانای مناسبی برای جریان الکتریسیته است. استحکام مکانیکی آن متواضع بوده اما قابلیت ماشینکاری و شکل‌پذیری بسیار بالایی دارد. در آزمایش‌ها از ورق‌های برش خورده  $250 \times 250\text{ mm}^2$  میلی‌متر با ضخامت  $5\text{ mm}$  استفاده شده است. آزمایش‌ها بر روی ماشین فرز چهار محور ماشین‌سازی تبریز مجهز به کنترل عددی CNC مدل FP4ME با کنترلر زیمنس ۸۰۲ انجام شده است.

برازش شده توسط معادله درجه دو، ابتدا ارتفاع حدی افزایش و سپس کاهش می‌یابد. در سرعت پیشروی  $700 \text{ mm/min}$  ارتفاع حدی میانگین سه نوع ماتریس اعماقی، نسبت به سرعت  $138, 400 \text{ mm/min}$   $138\%$  افزایش یافت. با افزایش سرعت به  $1000 \text{ mm/min}$ ،  $400 \text{ mm/min}$ ،  $100 \text{ mm/min}$  ارتفاع حدی میانگین نسبت به سرعت  $400 \text{ mm/min}$   $74\%$  افزایش ولی نسبت به  $700 \text{ mm/min}$   $27\%$  کاهش داشت.

افزایش نزخ پیشروی ابزار معادل، با بزرگشدن نزخ کرنش وارد شده است. نزخ کرنش نیز معادل سرعت تغییرات کرنش است و ارتباط مستقیمی با سرعت خطی ابزار دارد. در متابع مختلف، حساسیت به نزخ کرنش برای آلیاژهای آلومینیوم در دمای محیط نامحسوس گزارش شده است.<sup>[۱۱-۱۴]</sup> درحالیکه طبق شکل ۵، افزایش سرعت سبب بهبود شکل دهنده تدریجی شده و ارتفاعهای بزرگ تری شکل گرفته است. اگرچه این تغییرات در بیشینه سرعت اعماقی باشد کمتر افزایش یافته است. افزایش سرعت خطی با ایجاد حرارت موضعی بیشتر منجر به بهبود شکل پذیری شده است. بهبود شکل پذیری نیز با قابلیت تحمل کرنشهای شکست بزرگتر همراه شده و باعث افزایش ارتفاعهای حدی شده است. اگرچه کاهش  $27\%$  ارتفاع حدی میانگین در نزخ پیشروی بیشینه نسبت به سرعت  $700 \text{ mm/min}$ ، افزایش حرارت موضعی باعث دیگری توجیه کرد. در سرعت  $1000 \text{ mm/min}$ ،  $400 \text{ mm/min}$  در سرعت  $100 \text{ mm/min}$  افزایش ضریب حساسیت به نزخ کرنش شدن نمای حساسیت به نزخ کرنش شد. با افزایش ضریب حساسیت به نزخ کرنش، کرنشهای بزرگ تری ایجاد شده که موجب کاهش تأثیر مثبت حرارت موضعی بر قابلیت شکل دهنده می‌شود.<sup>[۱۱-۱۴]</sup> درنتیجه، اگرچه در سرعت  $1000 \text{ mm/min}$  همچنان افزایش ارتفاع حدی میانگین نسبت به سرعت  $400 \text{ mm/min}$   $400$  مشاهده می‌شود، اما اثر منفی حساسیت به نزخ کرنش سبب افزایش چشمگیر قابلیت شکل دهنده تدریجی نمی‌گردد. در دمای محیط، تغییرات سرعت طبق معادله بیانی  $C\varepsilon^n\varepsilon^m$  ( $\sigma = C\varepsilon^n\varepsilon^m$ ) تأثیر چندانی بر حساسیت به نزخ کرنش ( $m$ ) و درنتیجه بر تنش سیلان ( $\sigma$ ) نمی‌گذارد. درحالیکه با افزایش سرعت و ایجاد حرارت موضعی، نمای کارستختی ( $n$ ) و همچنین  $\sigma$  کاهش می‌یابد. بنابراین، تنش سیلان کاهش یافته و جریان مواد بهبود خواهد یافت. لازم به ذکر است که در برخی موارد، با افزایش چشمگیر سرعت و دما،  $m$  نیز تحت تأثیر قرار می‌گیرد، به ویژه زمانی که دمای موضعی ایجاد شده به  $4/4^\circ \text{C}$  دمای ذوب برسد. آنگاه، افزایش  $m$  بر کاهش  $n$  غالباً کرده و سبب افزایش تنش سیلان می‌شود.<sup>[۱۱-۱۴]</sup> به منظور ارزیابی گام حرکتی ابزار ارتفاع نمونه‌ها در سرعت  $700 \text{ mm/min}$  که طبق شکل ۵، بزرگترین ارتفاعهای حدی ایجاد شده است، با میانگینی از آزمایش‌های انجام شده در سه نوع ماتریس اندازه‌گیری شدند. در شکل ۶ ارتفاع حدی مخروط‌های شکل گرفته در سه سطح گام حرکتی مقایسه شده است.



شکل ۶. مقایسه تغییرات ارتفاع حدی برای گام‌های مختلف.

توسط دستگاه اندازه‌گیری صافی سطح با پارامتر  $\text{Ra}$  به صورت دستی سنجیده شده و زبری سطحی در جهت عمود بر هر نقطه مورد بررسی، توسط پرباب دستگاه MahrSurf PS ۱ اندازه‌گیری شده است (شکل ۴).

برای بررسی دقیق تأثیر پارامترهای اصلی و تعاملی بر یکدیگر، باید از روش طراحی آزمایش‌ها و تحلیل واریانس استفاده کرد. با توجه به تعداد آزمایش‌های زیاد مورد نیاز و کمبود بودجه در دسترس، در این پژوهش از روش سنتی استفاده شده است. طبق روش سنتی، اغلب برای بررسی هر پارامتر، سایر پارامترها را ثابت درنظر می‌گیرند. در نتیجه، برای انتخاب مقادیر ثابت هر پارامتر، آن مقداری را باید برگزید که شرایط بهتری را ایجاد کرده است. باید توجه داشت که نمی‌توان به مقدار انتخابی اعتماد کرد و باید همچون اغلب پروژه‌های بزرگ دانشگاهی و صنعتی، از روش‌های DOE استفاده نمود. در این پژوهش، با استناد به متابع<sup>[۱۸-۲۱]</sup> و انجام تست‌های اولیه از سه سرعت  $400, 700$  و  $1000 \text{ mm/min}$  با گام‌های  $5, 10, 20 \text{ mm}$  با سه طرح ماتریس استوانه‌ای یک، دو و سه پله استفاده گردید.

### ۳. نتایج و بحث

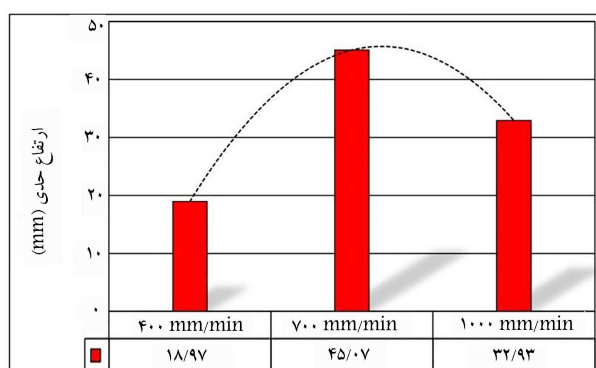
#### ۱.۳. تأثیر پارامترهای فرایندی بر ارتفاع حدی

در ادامه، شکل ۵ ارتفاع نمونه‌ها را در گام حرکتی  $8/\text{mm}$  و در سرعت‌های مختلف، نشان می‌دهد. مقدار عددی هر نمونه نیز بر روی محور افقی و زیر سرعت مربوطه ذکر شده است. ارتفاع حدی در هر سرعت، با میانگینی از آزمایش‌های انجام شده در سه نوع ماتریس لحاظ شد. به عنوان مثال، مقدار ارتفاع گزارش شده در سرعتی معادل  $400 \text{ mm/min}$  متعلق به میانگینی از آزمایش‌های انجام شده با گام  $8/\text{mm}$  در سه طرح ماتریس استوانه‌یکی یکپارچه، استوانه‌یکی دو پله و سه پله شده است.

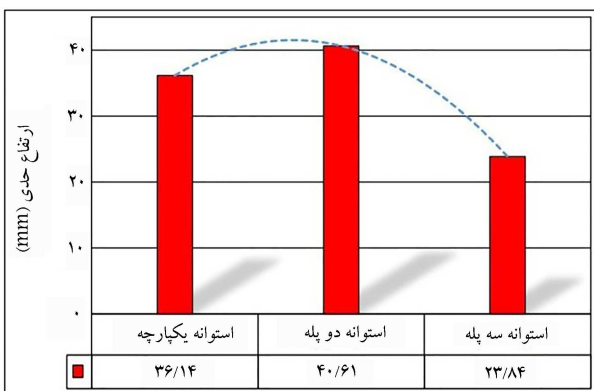
قابل ذکر است که نمونه‌های مخروطی تا ارتفاع بیشینه، معادل  $56 \text{ mm}$  شکل دهنده شدند. به محض وقوع پارگی، عملیات متوقف و ارتفاع گزارش شد. طبق خط روند



شکل ۴. دستگاه اندازه‌گیری زبری سطحی.



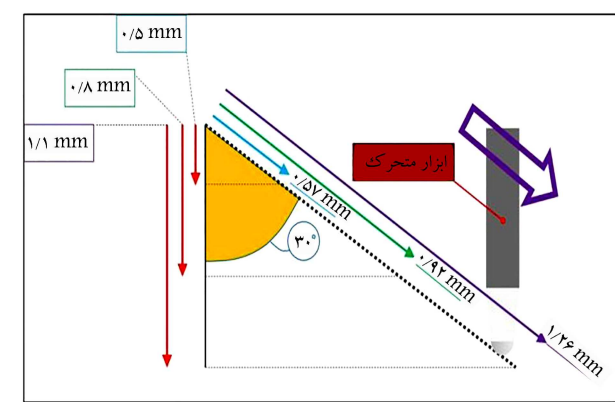
شکل ۵. مقایسه تغییرات ارتفاع حدی برای سرعت‌های پیشروی مختلف.



شکل ۸. مقایسه تغییرات ارتفاع حدی برای طرح ماتریس‌های مختلف.

ارتفاع‌های حدی بزرگ‌تری می‌گردد. به عبارت دیگر، در یک مرحله از انجام فرایند می‌توان قطعات عمیق‌تری را شکل داد که سبب کاهش تعداد عملیات فرایندی لازم، برای شکل‌دهی قطعات عمیق و پیچیده می‌شود.

در استفاده از ماتریس استوانه‌ی پیکارچه، ورق به‌جز در وجه تخت بالایی، در سطوح جانی آزاد و بدون پشتیبانی است. تا زمانی که ورق از سمت ماتریس آزاد باشد، همانند فرایند شکل‌دهی تدریجی تک نقطه، احتمال انحراف هندسی ورق از مدل اصلی و ایجاد پیچش و چروکیدگی افزایش می‌یابد. پدیده پیچش در فرایند شکل‌دهی تدریجی، هندسه و شکل نهایی را به شدت تحت تأثیر قرار می‌دهد. در این پدیده، به دلیل نیروهای مماسی وارد شده توسط ابزار، چرخش کشتل نشده‌ی قطعه کار حول تکیه‌گاه ورق‌گیر ایجاد شده و منجر به برش درون صفحه‌ی  $4^{\circ}$  در قطعه‌کار می‌شود.<sup>[۱۲]</sup> برش درون صفحه‌ی امکان دستیابی به قطعات عمیق را کاهش داده و سبب وقوف نازک‌شدنگی و شکست زودهنگام می‌گردد. با بهره‌گیری از ماتریس دو پله‌ی امکان پیچش و چروکیدگی کاهش نیافته و به افزایش  $12\%$  ارتفاع حدی میانگین منجر شده است. اما کاهش  $34\%$  ارتفاع حدی میانگین در حالت سه پله نسبت به استوانه پیکارچه، حاکی از تزلق قابلیت شکل‌دهی محصول نهایی است. این کاهش می‌تواند به علت تأثیر معکوس عوامل دیگری همچون افزایش سطح تماس ماتریس با ورق، افزایش نزدیکی و نیروهای بزرگ ایجاد شده در سطوحی از ورق که از دو سمت با اجسامی صلب در تماس‌اند، ایجاد شده باشد.



شکل ۷. مسافت طی شده بر روی سطح جانی مخروط در طی یک گام با مقادیر مختلف.

طبق شکل ۶ مشخص می‌شود که در بیشینه گام اعمالی، مخروط نهایی ارتفاع حدی کمتری را به خود اختصاص داده است. با افزایش گام به اندازه  $1/11mm$  ارتفاع حدی میانگین نسبت به گام‌های  $5/5mm$  و  $0/8mm$  به ترتیب  $30\%$  و  $43\%$  کاهش یافت. برای بررسی علت تأثیر گام بر ارتفاع حدی باید به ارتفاع عمودی نموهای شکل‌دهی رجوع کرد. در شکل ۷ مسافت طی شده برای سه گام اعمالی  $5/5mm$  مقایسه شده است. همان‌طور که مشخص است، میزان حرکت ابزار طبق مقدار هر گام می‌تواند سبب طی شدن مسافت‌های گوناگونی در هر تغییر گام شود. در واقع، افزایش گام معادل با افزایش عمق بار در باربرداری که سبب افزایش نیرو و کرنش‌های وارد خواهد شد، برابر می‌شود.

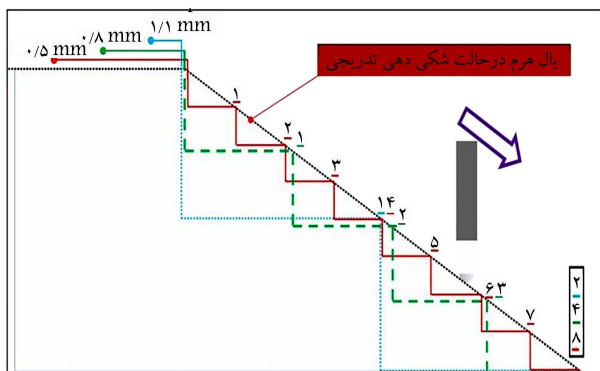
طبق شکل ۷، افزایش مقدار گام که در کنار ضلع عمودی مثلث برای ۳ مقدار مختلف و با پیکان به سمت پایین نشان داده شده، سبب بزرگ شدن مسافت حرکتی ابزار بر روی سطح مخروط در حین اعمال گام می‌گردد. در هر گام، ابزار بر روی وتر طبق شکل ۷ حرکت می‌کند. در واقع مجموع وترها در تمام گام‌ها برابر با اندازه طول یال مخروط نهایی است. سطح جانی مخروط طبق ذات این فرایند در نموهای کوچک و تدریجی شکل‌دهی می‌گردد. با توجه به اینکه این مسافت بر روی یال و با زاویه‌ی نسبت به افق طی می‌گردد، افزایش آن برای گام‌های بزرگ‌تر، سبب ایجاد کرنش‌های بزرگ‌تری می‌شود. مسافت طی شده بر روی یال با تغییر مقدار گام از  $5/5mm$  به  $0/8mm$  و  $0/61$  به  $1/11mm$  بیش از دو برابر افزایش می‌یابد. این افزایش مسافت، با ایجاد اصطکاک بزرگ‌تر همراه خواهد در نتیجه کرنش‌های بزرگ‌تری نیز ایجاد شده و سبب کاهش قابلیت شکل‌دهی برای گام  $1/11mm$  می‌گردد. در نتیجه کاهش ارتفاع حدی مخروط‌ها برای گام بیشینه با توجه به کرنش‌های بزرگ وارد شده قابل انتظار است. باید توجه داشت، ارتفاع حدی گام  $0/8mm$  نسبت به  $5/5mm$  به  $23\%$  نه تنها کاهش نیافته، بلکه افزایش یافتد. شاید به توان علت این افزایش را ناشی از تأثیر تداخلی پارامترها یا افزایش کارسختی و استحکام ورق دانست. برای بررسی اثر نوع ماتریس‌های ارائه شده بر ارتفاع حدی میانگین ارتفاع‌های شکل‌دهی شده در ۹ آزمایشی که متعلق به هر ماتریس بودند، در شکل ۸ رسم شده است.

برای هر ماتریس، ارتفاع‌های شکل‌گرفته در ۹ آزمایشی که در سه سطح متغیر برای گام و زخم پیش روی شکل‌گرفته‌اند، با میانگین ارائه شدند. طبق شکل ۸، بهبود  $12\%$  ارتفاع حدی میانگین با بهره‌گیری از ماتریس چند نقطه‌ی دو پله است. این امر ممکن است تأثیر قابلیت شکل‌دهی تدریجی به کمک استفاده از ماتریس استوانه‌ای دو پله خواهد بود. در واقع، اعمال ماتریس دو پله سبب افزایش احتمال دستیابی به

### ۲.۳. تأثیر پارامترهای فرایندی بر زبری سطحی

با توجه به اینکه برای تمامی نمونه‌های شکل‌گرفته در تنظیمات گوناگون، تماسی بین ابزار و سطح تخت وجه بالایی صورت نگرفته است، این ناچیه تحت کمترین تغییر شکل و سایش قرار گرفته است. ابزار متحرک در ابتدای درگیری، محیط دایره بالایی را شکل داده و هم‌زمان در حین حرکت با نفوذ عمودی گام به گام، به‌طور تدریجی مخروطی ناقص را شکل می‌دهد. وجه بالایی مخروط ناقص در شکل ۹ نشان داده شده است.

طبق شکل ۹، سطح قاعده بالاکه به علت تغییرات فرایندی نامحسوس آینه‌ی مانده، قابل مشاهده است. سایش و زبری سطحی در تصویر ارائه شده، برای وجود جانبی نسبت به سطح آینه‌ای قاعده بالایی، گواهی آشکار بر توضیحات ارائه شده است. با توجه به وقوع سایش نامحسوس در قاعده بالایی، از سطوح جانی مخروط برای سنجش میزان زبری استفاده شد. میانگینی از چهار زبری اندازه‌گیری شده تصادفی به عنوان معیار زبری سطحی برای هر نمونه گزارش شد. در شکل ۱۰



شکل ۱۲. مقایسه تعداد گام‌های طی شده بر روی یال مخروط در حال شکل‌دهی تدریجی.



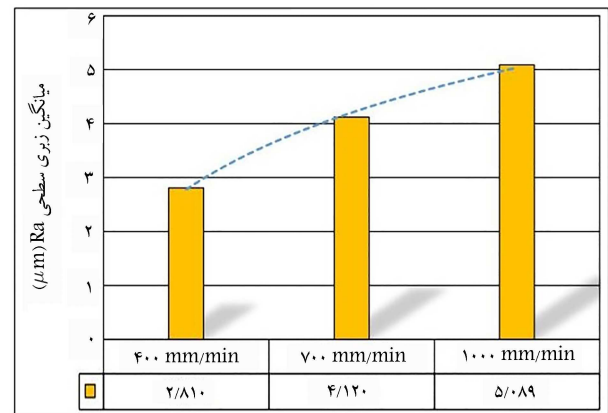
شکل ۱۳. کیفیت سطح نمونه‌های شکل گرفته با گام  $1/1\text{ mm}$  در سرعت  $700\text{ mm/min}$  با ماتریس دو پله.

قابل ذکر است که برای انجام آزمایش‌ها از سطح میانی نرخ پیشروی با مقدار  $700\text{ mm/min}$  و ماتریس دو پله استفاده شده است. مطابق با انتظار، با افزایش گام نفوذ ابزار، ارتفاع میکروسکوپی برای برجستگی‌های سطحی که سنتجه‌یی برای بیان زبری سطحی است، افزایش یافت. با افزایش گام از  $5/0\text{ mm}$  به  $1/1\text{ mm}$  حدود  $53\%$  افزایش میزان زبری حاصل شد. افزایش از  $8/0\text{ mm}$  به  $1/1\text{ mm}$  حدود  $34\%$  همچنین با افزایش از  $5/0\text{ mm}$  به  $1/1\text{ mm}$  حدود  $53\%$  افزایش زبری میزان زبری حاصل شد. افزایش میزان زبری معادل کاهش کیفیت سطحی محصول نهایی خواهد بود. به‌نحوی که، به علت سایش ابزار و اصطکاک شدید، پرداخت نهایی کیفیت پایینی خواهد داشت. جهت بررسی علت افزایش زبری برای گام‌های بزرگ‌تر، می‌توان به شکل ۱۲ توجه کرد.

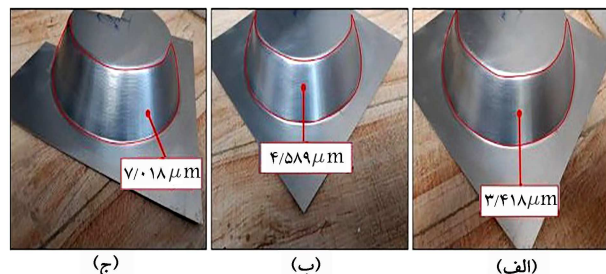
طبق شکل ۱۲، افزایش گام باعث می‌شود که ابزار طی نموهای بزرگ‌تری بر روی یال، شروع به شکل‌دهی قاعده بعدی کند. برای یال مشخص شده در شکل در حین شکل‌دهی تدریجی توسط گام‌های  $5/0$ ،  $1/1$ ،  $8/0$  و  $1/1\text{ mm}$ ، به ترتیب  $8$ ،  $4$ ،  $2$  تغییر گام مورد نیاز بوده که به ترتیب بر روی یال مخروط، نقاط تماس برای گام‌های مختلف شماره‌گذاری شده است. افزایش تعداد گام به معنای کاهش کیفیت سطح نهایی است. در واقع می‌توان تأثیر افزایش گام ابزار بر کیفیت محصول شکل‌دهی شده توسط فرایند TPIF را به افزایش بار برآمدگاری در فرایند ماشینکاری تعیین داد. با افزایش مقدار گام ابزار پس از اتمام شکل‌دهی قاعده اول، به منظور اعمال گام بعدی و شکل‌دهی قاعده دوم که در داخل مخروط واقع شده است، در مسافت دورتری از نقطه آغاز، به روی یال و وجوده جانی باز می‌گردد. بنابراین، تا شکل‌دهی آخرین قاعده، ابزار همواره با نموهای بزرگ‌تری بر روی یال می‌نشیند. بزرگ‌تر شدن اقطع مسافتی در برگشت ابزار بر روی ورق، سبب افزایش زبری و تنزل کیفیت پرداخت نهایی شده است. براساس شکل ۱۳، حتی با چشم غیر مسلح نیز تنزل



شکل ۹. مقایسه وجه تخت مخروط شکل دهی شده.



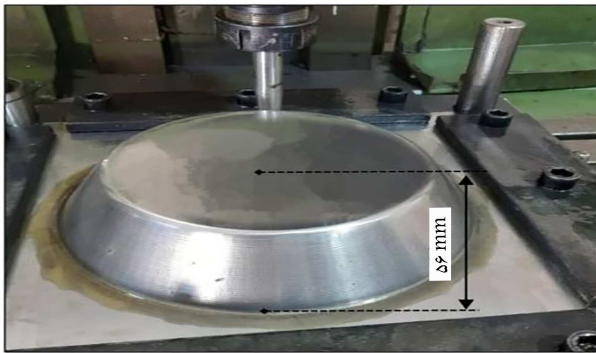
شکل ۱۰. مقایسه مقدار زبری سطحی برای سرعت‌های پیشروی مختلف.



شکل ۱۱. کیفیت سطحی نهایی با زبری میانگین برای گام: (الف)  $5/0$ ، (ب)  $1/1$  و (ج)  $1/1\text{ }\mu\text{m}$ .

زبری سنتجه‌یی برای پارامتر سرعت در گام ثابت  $8\text{ mm}$  بررسی شده است. زبری در هر سرعت، با میانگینی از آزمایش‌های انجام شده در سه نوع ماتریس لحظه گردید.

طبق شکل ۱۰، ارتفاع ناهمواری‌های سطحی با افزایش نرخ پیشروی بزرگ‌تر شده است. با افزایش پیشروی، تماس فیزیکی ابزار و ورق بیشتر می‌شود. در نتیجه اصطکاک و نیروهای شکل‌دهی نیز حادتر شده که ماحصل آن افزایش ارتفاع ابزار و بدتر شدن کیفیت ظاهری و پرداخت سطحی است. بهمنظور مقایسه ناهمواری نسبتاً خشن با حالت سایش بسیار کم، می‌توان نتایج ارائه شده در شکل‌های ۹ و ۱۰ را با یکدیگر مقایسه کرد. نرخ پیشروی برای مقادیر حدی کمیته، به صفر میل کرده که در واقع متناظر با عدم تماس ابزار و ورق است. شرایطی که در سطح قاعده بالایی ایجاد شده است، معادل سرعت پیشروی صفر بوده که توانسته بالاترین پرداخت نهایی را نتیجه دهد. در ادامه، تأثیر گام بر پارامتر  $\text{Ra}$  برای نمونه‌های شکل‌دهی شده در سه گام طبق شکل ۱۱ بررسی شده است.



شکل ۱۵. نمونه‌ی شکل دهی شده در گام  $5\text{mm}/\text{min}$  با نزدیکی سطح  $0^\circ$  و سرعت ماتریس  $1000\text{mm/min}$ .

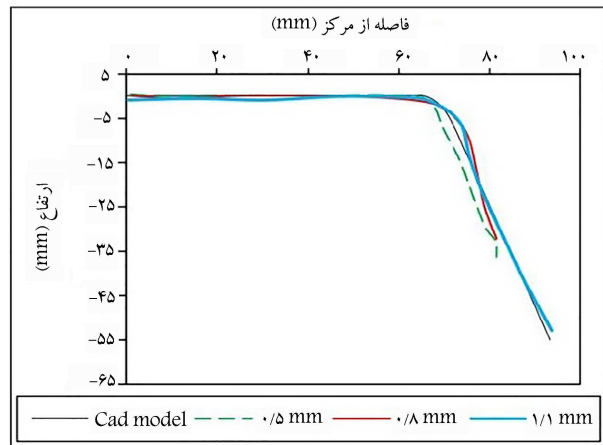
ابزار، ارتباط آن به پدیده برگشت فنری بوده است. نجف‌آبادی و همکاران، با دو برابر کردن گام عمودی ابزار، کاهش  $25\%$  برگشت فنری را گزارش کردند.<sup>[۱۴]</sup> این بحث به شرایط این مقاله نیز قابل تعمیم می‌باشد. کاهش برگشت فنری معادل خواهد بود با کمتر شدن انحراف هندسه نهایی نسبت به هندسه برنامه‌ریزی شده، به نحوی که محصول نهایی با دقت هندسی بالاتری شکل دهی می‌شود.

جهت بررسی تأثیر سرعت نزدیکی پیشروی بر دقت هندسی نیز آزمایش‌هایی در گام  $8\text{mm}/\text{min}$  طی سه سرعت  $400$ ،  $700$  و  $1000\text{mm/min}$  توسط ماتریس دو پله انجام شد. طبق نتایج، تغییرات نزدیکی پیشروی تأثیر محسوسی بر دقت هندسی نداشته و تقریباً برای هر سه سرعت، انحراف یکسانی تا ارتفاع کشش کمترین نمونه ایجاد شده است. در حالیکه پیش‌تر نتایجی متفاوتی به ویژه برای مشاهدات شکل دهی تدریجی تک نقطه گزارش شده است.<sup>[۱۵]</sup> از علل تأثیر نامحسوس تغییرات نزدیکی پیشروی بر دقت هندسی نمونه‌های شکل دهی شده می‌توان به بهره‌گیری از ماتریس دو پله اشاره کرد که به خوبی توانسته با محدود کردن سطوح داخلی نمونه، از چرخش کنترل نشده‌ی قطعه کار حول محور مخروط جلوگیری کرده و از برش درون صفحه‌یی قطعه کار ممانعت کند.<sup>[۱۶]</sup>

از نکات حائز اهمیت می‌توان به حادث نشدن تاییدگی و چروکیدگی در تمامی نمونه‌ها اشاره کرد. در حالیکه پدیده تاییدگی هندسه نهایی در فرایند شکل دهی به ویژه بدون ماتریس پشتیبان، برای عمق‌های زیاد نزدیک به حد پارگی، بسیار رایج گزارش شده است.<sup>[۱۷]</sup> در شکل ۱۵، نمونه شکل دهی شده توسط ماتریس دو پله نشان داده شده که تا عمق پیشینه  $56\text{mm}$  بدون ظهر چرخ و تاییدگی شکل دهی شده است. از مزایای بهره‌گیری از ماتریس پشتیبان می‌توان به کاهش احتمال تاییدگی اشاره کرد که با کم کردن انحراف هندسی، سبب افزایش دقت هندسی محصول نهایی خواهد شد.

در ادامه به بررسی طرح ماتریس‌های ارائه شده بر دقت هندسی پرداخته شده است. بدین منظور، طبق شکل ۱۶، دقت هندسی پروفایل نهایی برای سه طرح ماتریس با هم مقایسه شده است. قابل ذکر است که طبق نتایج شکل‌های ۵ و ۷، مقادیر پارامترهای گام پیشروی و سرعت در شکل ۱۶ طوری انتخاب شدند که منجر به ایجاد عمق ترین قطعات گردند. همچنین با توجه به انحراف ناچیز و چه تخت نمونه‌ها، فقط کانتور متعلق به سطوح جانبی اندازه‌گیری و ترسیم شدند.

همان‌طور که در شکل ۱۶ نشان داده شده، در ماتریس دو پله، علی‌رغم حادر شدن شرایط شکل دهی و حصول قطعه‌ی عمیق‌تر، انحراف کانتور برش خورده نسبت به ماتریس تک پله کاهش یافته است. در ماتریس سه پله نیز این انحراف کاهش بیشتری یافته و دقت هندسی بالاتری ایجاد شده است. افزایش تعداد پله‌های ماتریس،



شکل ۱۴. مقایسه دقت هندسی مقطع برش خورده برای گام‌های مختلف.

کیفیت سطحی و پرداخت نهایی با افزایش گام برای نمونه شکل دهی شده توسط فرایند شکل دهی تدریجی دو نقطه قابل مشاهده است. بر اساس شکل ۱۳، زبری شکل گرفته از نمای نزدیک نشان داده شده است. جهت بررسی تأثیر نوع ماتریس بر کیفیت سطحی نمونه‌های شکل دهی شده، زبری نمونه‌های شکل گرفته در سطح میانی پارامتر سرعت و گام معادل  $700\text{mm/min}$  و  $8\text{mm}/\text{min}$ ، در سه طرح ماتریس با استوانه یکپارچه، دو پله و سه پله اندازه‌گیری شدند. طبق مشاهدات، تغییر محسوسی در زبری نمونه‌های شکل گرفته در سه ماتریس ایجاد نشده است. بنابراین، طرح ماتریس‌های ارائه شده بر خروجی زبری نهایی سطحی تقریباً بی‌تأثیر هستند.

### ۳. تأثیر پارامترهای فرایندی بر دقت هندسی

در شکل ۱۴، انحراف هندسی برای نمونه‌های برش خورده در راستای نورد ورق، برای گام‌های مختلف حرکتی مورد مقایسه قرار گرفته است. جهت مقایسه نتایج از ماتریس با استوانه دو پله با نزدیکی  $0.5\text{mm}$  استفاده شده است. همان‌طور که قابل مشاهده است، عمق نمونه‌های شکل گرفته متفاوت است. در گام  $1.1\text{mm}$  ارتفاع حدی بزرگ‌تری ایجاد شده است. با این وجود پروفیل برش خورده برای ارتفاع حدی هر یک از نمونه‌های شکل گرفته رسم شده است. با توجه به نتایج شکل ۱۴، افزایش گام حرکتی ابزار سبب کاهش انحراف پروفایل برش خورده نسبت به مقدار مدلی شده است که مسیر حرکتی ابزار بر مبنای آن برنامه‌ریزی شد. بهبود دقت هندسی حتی با افزایش عمق و حادتر شدن شرایط شکل دهی، به طور محسوسی بهبود پیدا کرده است. در گام‌های کوچک با توجه به مقدار نفوذ کم، نیروی کمتری در راستای نفوذ به وجہ جانبی وارد می‌شود. با بزرگ‌تر شدن گام، مقدار نیرو به هنگام نفوذ افزایش یافته به نحوی و سبب کاهش انحراف ورق درین ابزار و ماتریس می‌گردد.

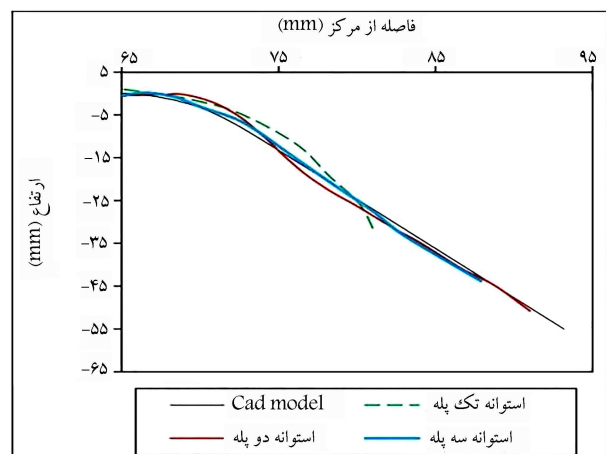
با افزایش عمق نفوذ، ابزار در طول بزرگ‌تری در راستای یال ( $30^\circ$ ) به مواد پیرامون نفوذ می‌کند. در نتیجه، کرنش موضعی بزرگ‌تری در هر اعمال گام به قاعده بعدی وارد می‌شود. بنابراین، نیروهای شکل دهی نیز افزایش یافته که از اثرات آن می‌توان به جاگیری از انحراف ورق اشاره کرد. در حالیکه برای نیروهای کم، به ویژه برای سطوح جانبی که ورق از سمت ماتریس آزاد است، تمايل به فرار از مسیر برنامه افزایش می‌یابد. این نتایج پیشتر نیز توجه سینگ و گویال همچنین گزارش شده است.<sup>[۱۳]</sup> یکی دیگر از بحث‌های ارائه شده در توجیه رابطه مستقیم بین دقت هندسی و گام

حل می‌کنند. برای مواردی که صرفاً ایجاد نمونه فیزیکی اولیه با دقت و هزینه کم مدنظر است، می‌توان از استوانه یکپارچه بپرسید. در نتیجه با توجه به اولویت در شکل دهنده ورق، اینکه ارتفاع کشش، دقت هندسی و یا کیفیت سطحی نهایی در اولویت بالاتری قرار داشته باشد و یا اینکه سادگی و صرفه‌جویی در هزینه ساخت در اولویت بالاتری قرار داشته باشد، می‌توان یکی از طرح ماتریس‌های استوانه‌یی یکپارچه، دو پله، سه پله و مخروطی را برگزید.

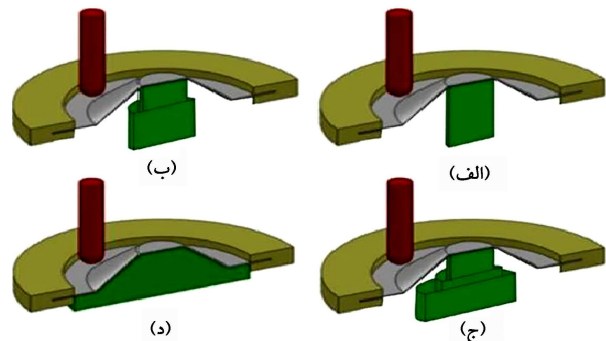
#### ۴. نتیجه‌گیری

در این مقاله، مجموعه‌ای برای انجام شکل دهنده تدریجی دو نقطه‌یی بر روی ورق‌های آلیاژی آلومینیوم  $1050$  طراحی و ساخته شده است. آزمایش‌هایی در گام و نیز پیشروی‌های متغیر در سه طرح ماتریس چند نقطه‌یی انجام شده که پارامترهای فرازیندی مناسب با توجه به خروجی‌های توزیع ضخامت، زبری سطحی و دقت هندسی گزارش شده است. نتایج مهم حاصل از این پژوهش، به صورت زیر خلاصه شده است:

۱. با افزایش سرعت پیشروی، ارتفاع حدی میانگین سه نوع ماتریس اعمالی نسبت به سرعت  $40\text{ mm/min}$  افزایش یافت. افزایش سرعت خطی با ایجاد حرارت موضعی بیشتر، بهبود شکل پذیری و افزایش ارتفاع‌های حدی منجر شد.
۲. با افزایش گام به اندازه  $1/1\text{ mm}$ ، ارتفاع حدی میانگین کاهش یافت. در واقع افزایش گام با افزایش عمق بار در باربرداری که سبب افزایش نیرو و کرنش‌های وارد خواهد شد معادل خواهد بود.
۳. ارتفاع حدی میانگین با بهره‌گیری از ماتریس چند نقطه‌یی دو پله،  $12\%$  بهبود یافت. در واقع اعمال ماتریس دو پله سبب افزایش احتمال دستیابی به ارتفاع‌های حدی بزرگ‌تری شد. در نتیجه، بهره‌گیری از این ماتریس سبب کاهش تعداد عملیات فرازیندی لازم، برای شکل دهنده قطعات عمیق و پیچیده شد.
۴. با افزایش گام نفوذ ابزار، ارتفاع میکرونی برای برجستگی‌های سطحی که سنجه‌یی برای بیان زبری سطحی است، افزایش یافت. لازم بهذکر است که افزایش میزان زبری ناشی از ساینس ابزار اصطکاک شدید که موجب پرداخت نهایی و کیفیت محصول پایین می‌شود معادل با کاهش کیفیت سطحی محصول نهایی است.
۵. طبق مشاهدات، تغییر محسوسی در زبری نمونه‌های شکل گرفته در سه نوع ماتریس ارائه شده ایجاد نشده است. لذا طرح ماتریس‌های ارائه شده بر خروجی زبری نهایی سطحی تقریباً بی تأثیر هستند.
۶. افزایش گام حرکتی ابزار سبب کاهش انحراف بروفایل برش خورده نسبت به مقدار مدل شد. دقت هندسی حتی با افزایش عمق و حادتر شدن شرایط شکل دهنده، به طور محسوسی بهبود پیدا کرده است. تغییرات نزدیکی تأثیر محسوسی بر دقت هندسی پروفیل برش خورده نداشت و تقریباً برای هر سه سرعت، انحراف یکسانی تا ارتفاع کشش کمترین نمونه ایجاد شده است.
۷. طبق نتایج ارائه شده، در ماتریس دو پله و با افزایش شکل پذیری ورق، قطعات عمیق‌تری شکل گرفت. درحالیکه طرح ماتریس با سه پله دقت هندسی بالاتر، انحراف کمتر و کاهش مشکلات اصطکاک دوطرفه را نتیجه داد. در نتیجه، با توجه به اهداف مدنظر در شکل دهنده ورق، می‌توان یکی از طرح ماتریس‌های پیشنهادی را استفاده کرد.



شکل ۱۶. نمونه مقایسه دقت هندسی مقطع برش خورده برای طرح ماتریس‌های مختلف.



شکل ۱۷. طرح ماتریس فرایند TPIF با (الف) استوانه تک پله، (ب) ماتریس دو پله، (ج) ماتریس سه پله و (د) مخروط یکپارچه.

با افزودن قیود خطی پشتیبان در سمت ماتریس، سبب کاهش احتمال انحراف ابزار و ورق در حین شکل دهنده می‌گردد. در واقع ابزار تمايل کمتری به ارتعاش و انحراف داشته و لذا ورق را نیز طبق برنامه شکل دهنده می‌کند.

#### ۴.۳. مقایسه طرح‌های ارائه شده در ماتریس

طبق نتایج گزارش شده، طرح ماتریس‌های ارائه شده ویژگی‌های مختلفی خواهند داشت. از مزایای ماتریس استوانه یکپارچه (تک پله) می‌توان به سادگی آن اشاره کرد. این سادگی سبب کاهش هزینه ساخت آن می‌گردد. اجرا و ساخت با افزایش تعداد پله‌ها، هزینه بیشتری را به همراه خواهد داشت. در شکل ۱۷، طرح‌واره سه ماتریس ارائه شده است. طبق نتایج حاصل ماتریس دو پله توانست با افزایش شکل پذیری ورق، قطعات عمیق‌تری را شکل دهد. بر اساس نتایج و از جنبه دقت هندسی، طرح ماتریس با سه پله بالاترین دقت هندسی و کمترین انحراف را نسبت به برنامه ریزی شده ایجاد کرد.

با بهره‌گیری از ماتریس‌های چند نقطه‌یی، علی‌رغم افزایش دقت هندسی ورق، اصطکاک نیز نسبت به ماتریس مخروطی یکپارچه تقليل می‌باید. از معایب ماتریس مخروطی یکپارچه، بوجود آمدن سطوح تماس دوطرفه خواهد بود. با توجه به اینکه ورق از دو سمت به طور پیوسته با ابزارهای صلب درتماس می‌باشد، این امر سبب افزایش اصطکاک و کرنش‌های وارد می‌گردد. درحالیکه ماتریس استوانه‌یی سه پله، علاوه بر کاهش انحراف هندسی محصول نهایی، چالش اصطکاک دوطرفه را

## پانوشت‌ها

1. Rapid Prototyping
2. Flexible Forming
3. Reflector
4. In-Plane Shear

## منابع (References)

1. Behera, A.K., de Sousa, R.A. Ingara, G. and Oleksik, V., 2017. Single point incremental forming: An assessment of the progress and technology trends from 2005 to 2015. *Journal of Manufacturing Processes*, 27, pp.37-62. <https://doi.org/10.1016/j.jmapro.2017.03.014>.
2. Edward, L., 1967. Apparatus and process for incremental dieless forming. Google Patents.
3. Nimbalkar, D.H. and Nandedkar, V., 2013. Review of incremental forming of sheet metal components. *Int J Eng Res Appl*, 3, pp.39-51.
4. Mirnia, M.J. and Mollaei Dariani, B., 2015/1393. An investigation on multistage incremental forming to control thinning in a truncated cone of an aluminum alloy sheet. *Modares Mechanical Engineering*, 14, pp.262-270 [In Persian].  
<http://dorl.net/dor/20.1001.1.10275940.1393.14.14.2.7>.
5. Roohi, H., Deilami Azodi, H. and Safari, M., 2019. Investigation on Forming Limit of Aluminum Sheet in Warm Incremental Forming Process. *Modares Mechanical Engineering*, 19, pp.259-268.  
<http://dorl.net/dor/20.1001.1.10275940.1397.19.2.16.8>.
6. Barimani-Varandi, A., Nasrabadi, M.K., Ravan, B.A. and Javadi, M., 2021. Rapid prototyping of aircraft canopy based on the incremental forming process. *Journal of the Brazilian Society of Mechanical Sciences and Engineering*, 43, pp.1-15.  
<http://dx.doi.org/10.1007/s40430-021-02811-1>.
7. Kumar, A., Singh, V., Nayak, S., Kumar, A., Tyagi, A. and Sharma, A., 2022. Impact of process variables on surface roughness in negative incremental forming process. *Materials Today: Proceedings*, 50, pp.930-934.  
<https://doi.org/10.1016/j.matpr.2021.06.324>.
8. Trzepieciński, T., Najm, S.M., Oleksik, V., Vasilca, D., Paniti, I. and Szpunar, M., 2022. Recent developments and future challenges in incremental sheet forming of aluminium and aluminium alloy sheets. *Metals*, 12(1), 124. <https://doi.org/10.3390/met12010124>.
9. Naka, T., Torikai, G., Hino, R. and Yoshida, F., 2001. The effects of temperature and forming speed on the forming limit diagram for type 5083 aluminum-magnesium alloy sheet. *Journal of Materials Processing Technology*, 113, pp.648-653.
10. Chu, X., Leotoing, L., Guines, D. and Ragneau, E., 2014. Temperature and strain rate influence on AA5086 forming limit curves: Experimental results and discussion on the validity of the MK model. *International Journal of Mechanical Sciences*, 78, pp.27-34.  
[https://doi.org/10.1016/S0924-0136\(01\)00650-1](https://doi.org/10.1016/S0924-0136(01)00650-1).
11. Chen, D.Y., Xu, Y., Zhang, S.H., Ma, Y., Abd El-Aty, A., Banabic, D., Pokrovsky, A.I. and Bakinovskaya, A.A., 2019. A novel method to evaluate the high strain rate formability of sheet metals under impact hydroforming. *Journal of Materials Processing Technology*, 116553.  
<https://doi.org/10.1016/j.jmatprotec.2019.116553>.
12. Durante, M., Formisano, A. and Lambiase, F., 2019. Formability of polycarbonate sheets in single-point incremental forming. *The International Journal of Advanced Manufacturing Technology*, 102, pp.2049-2062.
13. Singh, R.P. and Goyal, G., 2014. FEA analysis to study the influence of various forming parameters on springback occurs in single point incremental forming. (*IJERA*) ISSN: 2248-9622 National Conference on Advances in Engineering and Technology, pp.33-37.
14. Mohammadi Najafabadi, H., Ataei, A.A. and Sharififar, M., 2014. Numerical and Experimental Investigation of Incremental Sheet Metal Forming Parameters and Multi-objective Optimization Using Neural-genetic Algorithm. *Modares Mechanical Engineering*, 14, pp.167-174.  
<http://dorl.net/dor/20.1001.1.10275940.1393.14.2.23.4>.
15. Duflou, J.R., Habraken, A.M., Cao, J., Malhotra, R., Bambach, M., Adams, D., Vanhove, H., Mohammadi, A. and Jeswiet, J., 2018. Single point incremental forming: State-of-the-art and prospects. *International Journal of Material Forming*, 11, pp.743-773.
16. Li, Y., Chen, X., Liu, Z., Sun, J., Li, F., Li, J. and Zhao, G., 2017. A review on the recent development of incremental sheet-forming process. *The International Journal of Advanced Manufacturing Technology*, 92, pp.2439-2462.
17. Nourmohammadi, A.A. Elyasi, M. and Mirnia, M.J., 2019. Flexibility improvement in two-point incremental forming by implementing multi-point die. *The International Journal of Advanced Manufacturing Technology*, 102, pp.2933-2952. DOI:10.1007/s00170-019-03307-y.
18. Ham, M. and Jeswiet, J., 2007. Forming limit curves in single point incremental forming. *CIRP Annals*, 56, pp.277-280. <https://doi.org/10.1016/j.cirp.2007.05.064>.
19. Jadhav, S. 2004. Basic investigations of the incremental sheet metal forming process on a CNC milling machine, Shaker.